

# طراحی بهینه‌ی آزمون‌های زوال تسریع شده‌ی مخرب با حضور ریسک‌های رقابتی

مرتضی آگاه (کارشناس ارشد)

رسول نووالسناء (استاد)

دانشکده مهندسی صنایع، دانشگاه علم و صنعت ایران

کامیار صبری لقائی \* (استادیار)

گروه مهندسی صنایع، دانشگاه صنعتی ارومیه

آزمون‌های زوال تسریع شده ابزاری کارآمد برای ارزیابی طول عمر محصولات با قابلیت اطمینان بالا هستند. برای بسیاری از محصولات زوال یک محصول ناشی از چندین سازوکار خرابی است؛ به عبارت دیگر چندین سازوکار خرابی برای خراب شدن محصول با یکدیگر رقابت می‌کنند که این موضوع با عنوان ریسک‌های رقابتی مطرح می‌شود. همچنین در بسیاری از کاربردها، فرایند اندازه‌گیری زوال منجر به تخریب مشخصات فیزیکی و شیمیایی واحد‌های آزمون می‌شود که با عنوان آزمون‌های زوال تسریع شده مخرب (ADDT) مطرح می‌شوند. مشخصات اندازه‌ی کل نمونه، توالی اندازه‌گیری‌های مخرب، تعداد اندازه‌گیری‌ها در هر سطح تنش و متغیرهای تصمیم‌گیری دیگر در طراحی و اجرای مؤثر ADDT اهمیت دارند. در این تحقیق یک طرح آزمون بهینه برای آزمون ADDT با حضور ریسک‌های رقابتی با درنظر گرفتن محدودیت هزینه و با کمینه کردن واریانس میانجی برآورد بیشینه‌ی درست‌نمایی چندک  $p$  ام توزیع زمان شکست در شرایط استفاده ارائه شده است.

mortezaagah68@gmail.com  
rassoul@iust.ac.ir  
sabri@uut.ac.ir

وازگان کلیدی: قابلیت اطمینان، آزمون‌های زوال تسریع شده‌ی مخرب، ریسک‌های رقابتی، طرح آزمون بهینه.

## ۱. مقدمه

تاپ) یا جایگزین‌های وابسته به آن، امکان مدل‌سازی مستقیم فیزیک سازوکارهای خرابی را فراهم می‌کند. این امر منجر به توجیه‌پذیری و اعتبار بیشتر تخمین‌های قابلیت اطمینان می‌شود. برای کسب اطلاعات بیشتر در رابطه با آزمون‌های زوال و کاربردهای آن می‌توان به پژوهش‌های موجود<sup>[۱-۴]</sup> مراجعه کرد. با این حال برای محصولات با قابلیت اطمینان بالا، ممکن است فرایند زوال به منظور به دست آوردن تخمین خوب در دوره‌ی زمانی مناسب بسیار آهسته باشد. به همین دلیل داده‌های زوال از آزمون‌هایی در سطح بالاتر تنش جمع‌آوری و سپس از برونویابی برای کسب اطلاعات در شرایط عادی استفاده می‌شود.<sup>[۵]</sup> این نوع آزمون‌ها با عنوان آزمون‌های زوال تسریع شده<sup>۳</sup> شناخته می‌شوند. یو و چاپو<sup>۴</sup> در سال ۲۰۰۲ می‌توانند برای یک آزمون زوال تسریع شده توسط بهینه‌سازی تخمین فاصله‌ی طرح آزمونی برای این آزمون دلیل آزمون‌های زوال<sup>۵</sup> می‌توانند برای به دست آوردن اطلاعات سریع و مناسب قابلیت اطمینان در صنایع تولیدی مفید واقع شوند. با استفاده از داده‌های زوال امکان تفسیر مفید قابلیت اطمینان حتی با تعداد کم با عدم وجود خرابی مهیا است. مشاهده‌ی مستقیم فرایند زوال فیزیکی (مانند فرسودگی

\* نویسنده مسئول

تاریخ: دریافت ۱۲/۹/۱۳۹۶، اصلاحیه ۱۳۹۷/۶/۱۳، پذیرش ۳/۷/۱۳۹۷.

DOI:10.24200/J65.2018.50338.1848

تحت محدودیت بودجه با استفاده از مدل برنامه‌ریزی عدد صحیح غیرخطی به تعیین ترکیب بهینه‌ی اندازه‌ی نمونه، فراوانی بازرسی و زمان خاتمه‌ی آزمون در هر سطح تنش پرداخت.<sup>[۱۹]</sup> در سال ۲۰۰۳ مارزیو<sup>۶</sup> و همکارانش استفاده از الگوریتم ژنتیک چنددهفه را برای تعیین مقادیر پارامترهای طرح آزمون زوال پیشنهاد دادند. آن‌ها در این مقاله با فرض غیرخطی بودن مسئله به بهینه‌سازی دقت تخمين چندک‌های توزیع زمان خرابی و هزینه‌های آزمون پرداختند.<sup>[۲۰]</sup> هونگ‌فویو در سال ۲۰۰۶ طراحی آزمون زوال تسریع شده را با این فرض که نرخ زوال از توزیع واپیول معکوس پیروی می‌کند، بررسی کرد. هدف این مقاله تعیین متغیرهای تصمیم‌گیری به گونه‌یی است که میانگین خطای مراعات برآورد شده از چندک توزیع طول عمر محصول در شرایط استفاده با توجه به محدودیت بودجه کمینه شود.<sup>[۲۱]</sup> در سال ۲۰۰۶، لیائو و تی‌سنگ<sup>۷</sup> به بررسی طرح آزمون بهینه برای آزمون‌های زوال تسریع شده با تنش پله‌یی پرداختند.<sup>[۲۲]</sup> در سال ۲۰۰۴، پارک و همکارانش به بررسی طرح‌های بهینه آزمون‌های زوال تسریع شده ازدحامی دادند. آن‌ها فرض کردند که آزمون مخرب است و رابطه‌ی بین تنش و عملکرد محصول از یک رابطه‌ی نرخ ثابت ساده پیروی می‌کند. در این مقاله سطوح تسریع، نسبت واحدهای تخصیص داده شده به هر سطح تنش و زمان اندازه‌گیری تعیین شد.<sup>[۲۳]</sup> در سال ۲۰۰۴، پارک و همکارانش بهینه‌سازی استفاده شده است.<sup>[۲۴]</sup> یکی از مقالات بنیادی در رابطه با طرح آزمون زوال تسریع شده با اندازه‌گیری مخرب مروط به تحقیق شای<sup>۸</sup> و همکارانش در سال ۲۰۰۹ است. در این مقاله آزمون زوال تسریع شده مخرب با یک رابطه‌ی نرخ ثابت ساده پیشنهاد داد. در این مقاله سطوح تسریع شده همراه با تنش پله‌یی، زمانی که مسیر زوال از فرایند گاما پیروی می‌کند، پرداختند و سپس تحت محدودیت بودجه مقادیر بهینه برای اندازه‌ی نمونه، زمان اندازه‌گیری و زمان خاتمه را با هدف کمینه کردن واریانس مجاہی MTTF برآورد شده از توزیع طول عمر محصول به دست آوردند.<sup>[۲۵]</sup> هنگ‌فویو در سال ۲۰۱۰ یک روش نظاممند برای انتخاب مسئله با استفاده از داده‌های زوال پیشنهاد بهینه‌یی اندازه‌ی نمونه، فواصل بازرسی، زمان پایان آزمون ارائه شده است.<sup>[۲۶]</sup> ژنگ ژنگ<sup>۹</sup> و همکارانش در سال ۲۰۱۰، انتخاب سطوح تسریع شده در آزمون‌های زوال تسریع شده با تنش پله‌یی را بررسی کردند. آن‌ها ابتدا با استفاده از حرکت فراونی<sup>۱۰</sup> زوال عملکرد را مدل‌سازی کردند و سپس تحت محدودیت بودجه و مشخص بودن اندازه‌ی نمونه، زمان کل آزمون و فواصل نمونه‌گیری، سطوح تسریع بهینه و زمان آزمون در هر سطح تنش را تعیین کردند.<sup>[۲۷]</sup> کیانگ و ینکانگ<sup>۱۱</sup> در سال ۲۰۱۳، طرح‌های بهینه برای آزمون‌های زوال تسریع شده با تنش ثابت را ارائه دادند. فرض اصلی در این مقاله پیروی مشخصه‌های زوال از فرایند گاماست. در نهایت به تعیین سطوح تنش آزمون و نسبت واحدهای تخصیص داده شده به هر سطح تنش پرداختند.<sup>[۲۸]</sup> پنگ<sup>۱۲</sup> و همکارانش در سال ۲۰۱۴، فرایند گاویسی معکوس را به عنوان یک فرایند احتمالی انعطاف‌پذیر و جذاب برای مدل‌سازی زوال معرفی کردند. سپس به بررسی طرح‌های بهینه‌ی آزمون‌های زوال بر مبنای این فرایند پرداختند. همچنین آن‌ها از روش بیزی برای حل موضوع عدم قطعیت در مقادیر برنامه‌ریزی استفاده کردند.<sup>[۲۹]</sup> چن<sup>۱۳</sup> و همکارانش در سال ۲۰۱۶ مدل فرایند وینز غیرخطی را برای مدل‌سازی آزمون‌های زوال تسریع شده پیشنهاد دادند. سپس به ارائه طرح بهینه برای تعیین سطوح تنش بهینه، تعداد واحدهای تخصیص داده شده به هر سطح تنش، توالی بازرسی و زمان‌های اندازه‌گیری پرداختند.<sup>[۳۰]</sup> تی‌سای و همکارانش در سال ۲۰۱۶ از فرایند زوال گاما برای مدل‌سازی آزمون زوال تسریع شده استفاده کردند. آن‌ها در تحقیقات خود از دو روش بارگذاری تنش به صورت هم‌زمان بهره برداشتند و سپس به تعیین اندازه‌ی نمونه، زمان خاتمه‌ی هر آزمایش و توالی اندازه‌گیری‌ها پرداختند.<sup>[۳۱]</sup> در تحقیقات مرور شده فرض بر این است که اندازه‌گیری منجر به خرابی محصول نمی‌شود؛ در صورتی که در بسیاری از کاربردها، فرایند اندازه‌گیری زوال منجر به

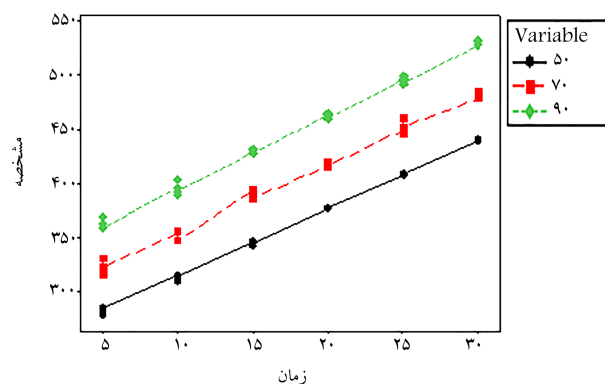
زمان‌های اندازه‌گیری شامل ۵، ۱۰، ۱۵، ۲۰، ۲۵ و ۳۰ واحد زمانی است و در هر زمان اندازه‌گیری در طی هر آزمون ۴ واحد به صورت مخرب اندازه‌گیری می‌شود. محصول شامل دو مشخصه‌ی عملکردی است که با عنوان مشخصه‌ی عملکردی نوع الف و نوع ب معروفی می‌شود. محصول زمانی خراب می‌شود که مشخصه‌ی عملکردی نوع الف مقداری بالاتر از ۵۲۵ و مشخصه‌ی عملکردی نوع ب مقداری بالاتر از ۴۹۵ اختیار کند. همچنین بیشینه‌ی تعداد واحد موجود و بیشینه‌ی زمان مجاز برای اجرای آزمایش به ترتیب ۱۰۰ واحد و ۳۰ واحد زمانی است. هزینه‌های مربوط به هر واحد عملیات، هر واحد محصول و هر واحد اندازه‌گیری به ترتیب ۵، ۰، ۰۵ و بیشینه‌ی بودجه ۵۰ واحد است. شکل‌های ۱ و ۲ به ترتیب مشخصه‌های عملکردی نوع الف و ب را نشان می‌دهند. از نمودارها می‌توان دریافت که مدل خطی زیر برای توصیف مسیرهای زوال محصول می‌تواند مناسب باشد:

$$L_p(t|S_i) = \alpha_p + \beta_{ip}t + \varepsilon \quad t > 0 \quad (1)$$

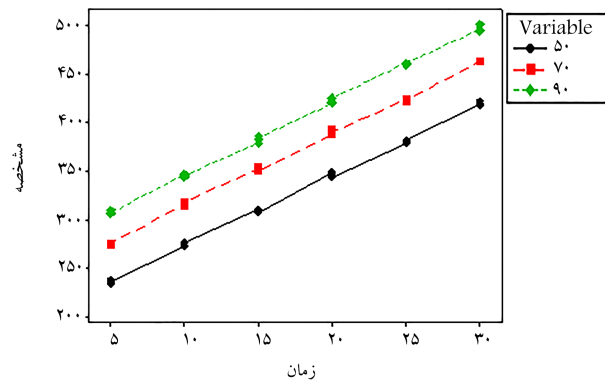
که در رابطه‌ی ۱،  $L_p(t|S_i)$ ،  $i = 1, 2, 3$ ،  $\alpha_p$ ،  $\beta_{ip}$ ،  $\varepsilon$  مشخصه‌ی کیفی نوع  $p$  از محصول تحت تنش  $S_i$  در زمان  $t$  است. همچنین  $\alpha_p$  و  $\beta_{ip}$  پارامترهای ثابت و مجہول و  $\varepsilon$  عبارت خطای تصادفی است. شکل‌های ۳ و ۴ به ترتیب نشان می‌دهند که نمودارهای  $\ln(\beta_{1i})$  و  $\ln(\beta_{2i})$  در برابر معکوس دما بر حسب درجه‌ی کلوین ( $1/T$ ) برای  $i = 1, 2, 3$  تقریباً خطی هستند. بنابراین، منطقی است که نزد زوال برای هر دو مشخصه‌ی عملکردی از رابطه‌ی آرنیوس پیروی کند.<sup>[۷]</sup>

$$\beta_{i1} = \gamma_1 \exp\left(\frac{\lambda_1}{S_i}\right) \quad (2)$$

$$\beta_{i2} = \gamma_2 \exp\left(\frac{\lambda_2}{S_i}\right) \quad (3)$$



شکل ۱. فرایند زوال برای مشخصه‌ی عملکرد نوع الف در دماهای مختلف.



شکل ۲. فرایند زوال برای مشخصه‌ی عملکرد نوع ب در دماهای مختلف.

سازوکار خرابی دیگر را به عنوان حذف شده برای سازوکار خرابی اصلی در نظر گرفتند. سپس مسئله را به صورت یک طرح آزمون با یک سازوکار خرابی که داده‌های حذف شده را شامل می‌شود، حل کردند.<sup>[۷]</sup> در سال ۲۰۱۳ پان و سان ۲۳ طراحی بهینه برای آزمون‌های زوال تسریع شده با تنش پله‌یی و چندین مشخصه‌ی عملکردی ارائه دادند. آنها در مدل خود از فرایند گاما استفاده کردند و فرض کردند که مشخصه‌های عملکرد همیشه مثبت و اکیداً صعودی است. آنها تحت محدودیت هزینه، تنظیمات بهینه مانند اندازه‌ی نمونه، زمانها و توالی اندازه‌گیری را تعیین کردند.<sup>[۸]</sup> در سال ۲۰۱۴ حقیقی مقایلی درباره‌ی طرح آزمون زوال تسریع شده در حضور رسیک‌های رقبتی ارائه کرد. در این مقاله فرض بر این است که تنش به صورت پله‌یی اعمال می‌شود و مسیر زوال از مدل زوال تسریع شده برای بروناهای اطلاعات از سطح بالای تنش استفاده شده است.<sup>[۹]</sup> در سال ۲۰۱۷ وانگ<sup>۲۴</sup> و همکارانش طرح بهینه‌یی را برای حالتی که چند متغیر تسریع و چند اندازه‌ی زوال وجود دارد، بررسی کردند. همچنین آنها در تحقیقات خود فرض کردند که تنش به صورت پله‌یی به محصول اعمال می‌شود.<sup>[۱۰]</sup> در تحقیقات مرور شده تا به حال آزمون‌های زوال مخرب تسریع شده با چند سازوکار خرابی که هر سازوکار به عنوان خرابی اصلی در نظر گرفته شده باشد، بررسی نشده است. در این پژوهش یک مدل آزمون زوال تسریع شده مخرب در حضور رسیک‌های رقبتی ارائه شده است و سپس به تعیین طرح بهینه‌یی آزمون با هدف کمینه کردن واریانس تقریبی نمونه بزرگ برای چندک  $K$  ام توزیع زمان خرابی در شرایط استفاده پرداخته شده است. با توجه به متابع محدود آزمون (همانند زمان، واحد و سهیلات آزمون)، هزینه‌های آزمایش و اهمیت دقت تخمین دقیق طول عمر محصول، طراحی مناسب یک آزمون برای استفاده مؤثر از منابع محدود حائز اهمیت است. به همین دلیل نیاز است تا متغیرهای تصمیم‌گیری شامل اندازه‌ی کل نمونه، فراوانی بازرسی و تعداد کل اندازه‌گیری در هر سطح تنش به صورت بهینه تعیین شود. انتخاب نادرست این متغیرها ممکن است منجر به افزایش هزینه‌های آزمایشگاهی و کاهش دقت تخمین قابلیت اطمینان محصول شود. بنابراین برای صنایع مختلف تعیین بهینه‌ی این متغیرها از اهمیت بالایی برخوردار است. این دقیقاً مسئله‌یی است که در این پژوهش بررسی و حل خواهد شد.

ادامه‌ی این مقاله به صورت زیر سازمان‌دهی شده است. در بخش ۲ مثالی که منجر به مطرح شدن این مسئله و حل آن شده است، بیان می‌شود و در نهایت از آن برای تشریح روش‌های توسعه داده شده استفاده می‌شود. در بخش ۳ مدل ADDT<sup>۲۵</sup> با حضور رسیک‌های رقبتی معرفی و فرمول بندی کلی آن بیان می‌شود. در بخش ۴ طرح آزمون بهینه فرمول بندی می‌شود و در بخش ۵ روش حل مدل ارائه شده با استفاده از الگوریتم رتیک شرح شده است. سپس در بخش ۶ نتایج عددی با استفاده از مثال ارائه شده در بخش ۲ به دست می‌آیند. در نهایت نتیجه‌گیری در بخش ۷ ارائه شده است.

## ۲. مثال انگیزشی

مدل و روش‌های توسعه یافته در بخش‌های بعد با استفاده از اطلاعات کسب شده از یک نوع محصول شیمیابی که در معرض دماهای بالاتر قرار گرفته است، تشریح می‌شود. واحدهای نمونه‌گیری شده در دماهای ۵۰، ۵۵، ۷۰ و ۹۰ درجه سانتی‌گراد قرار می‌گیرند. در هر دمای تسریع  $24^{\circ}\text{C}$  واحد از محصول آزمایش می‌شود. در این آزمون،

در معادله‌ی ۵،  $D_{ij} = D(t_{ij}, \beta_{li}, \dots, \beta_{ki})$  مسیر واقعی واحد زام در زمان  $t_{ij}$  است.  $\varepsilon_{ij}$  نشان‌دهنده‌ی انحراف باقی‌مانده‌هاست که تغییرپذیری واحد به واحد را توصیف می‌کند. در اینجا داریم  $\Phi(Z) \sim \frac{\varepsilon_{ij}}{\sigma}$ ، که  $\Phi(Z)$  یک تابع توزیع تجمعی مشخص مانند تابع توزیع تجمعی نرمال استاندارد شده  $\Phi_{nor}(Z)$  است. پارامترهای مدل  $(\sigma, \beta_{li}, \dots, \beta_{ki})$  ثابت ولی مجھول هستند که با استفاده از داده‌های آزمون زوال تضمین زده می‌شوند. در حالت کلی،  $D$  پارامتر مکان برای توزیع  $L$  است که وابسته به پارامترهای مجھول  $(\beta_1, \dots, \beta_k)$  و تابعی از متغیر تسریع  $(S)$  و زمان است. به عبارت دیگر:

$$L = \mu(t, S) + \varepsilon \quad (6)$$

در این مقاله مدل زوال ارائه شده در سطح مشخصی از  $S$  خطی است و میانگین مسیر زوال نیز نسبت به  $t$  خطی است. بنابراین:

$$L = \alpha + \beta t + \varepsilon \quad (7)$$

در رابطه‌ی ۷، زمانی که  $t = 0$  پارامتر مکان خواهد بود. علامت  $\beta$  نشان‌دهنده‌ی نزخ زوال است و همان‌طور که در بخش ۲ نشان داده شد نزخ زوال  $\beta$  از قانون آرنیوس پیروی می‌کند. به عبارت دیگر:

$$\beta = \gamma \exp\left(\frac{\lambda}{S}\right)t \quad (8)$$

در نهایت می‌توان گفت که مدل زوال از رابطه‌ی ۹ پیروی می‌کند که نسبت به پارامترها غیرخطی است. در این رابطه دما ( $S$ ) بر حسب مقایس درجه‌ی کلوین برای معادل با انرژی فعال‌سازی متناظر با سازوکار زوال است.

$$L = \alpha + \gamma \exp\left(\frac{\lambda}{S}\right)t + \varepsilon \quad (9)$$

### ۲.۳. تابع توزیع تجمعی

معرف مشخصه‌ی عملکرد محصول تحت شرایط استفاده  $S^*$  در زمان  $t$  در معادله‌ی ۱۰ بیان شده است:

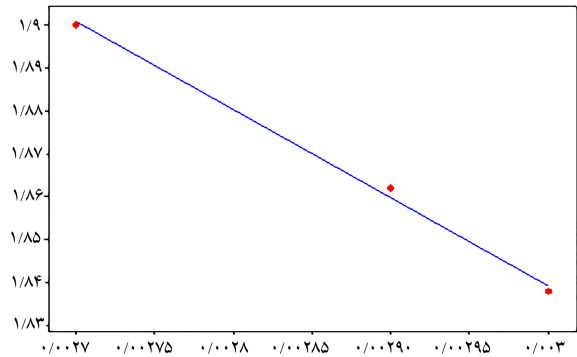
$$L(t|S^*) = \alpha + \beta \cdot t + \varepsilon \quad t > 0 \quad (10)$$

پارامترهای ثابت اما مجھول هستند و خطای تصادفی  $\varepsilon$  از توزیع نرمال با میانگین صفر و انحراف معیار  $\sigma$ ،  $(\alpha, \beta, \sigma)$  پیروی می‌کند. طول عمر محصولات (T) برابر است با زمانی که  $L(t|S^*)$  از سطح بحرانی  $D_f$  عبور می‌کند. بنابراین احتمال خرابی در زمان داده شده  $(t)$  برابر با عبور مشخصه‌ی عملکرد از سطح بحرانی تعریف شده در زمان  $t$  است. رابطه‌ی ۱۱ عبارت ریاضی این مفهوم را ارائه می‌دهد.

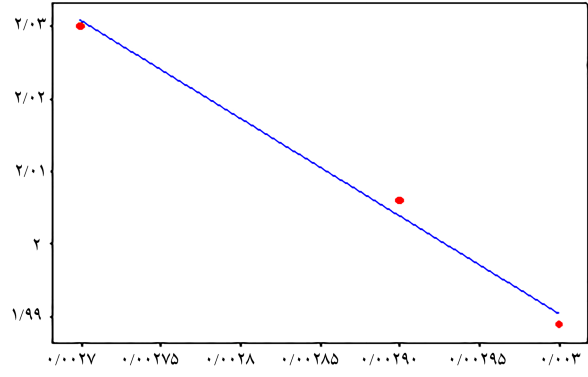
$$F(t) =$$

$$P(T \leq t) = P(L(t|S^*) \geq D_f) = 1 - \Phi\left(\frac{D_f - \alpha - \beta \cdot t}{\sigma}\right) \quad (11)$$

که  $\Phi(\cdot)$  تابع توزیع تجمعی نرمال است. مقدار  $F_T(t)$  و  $F_{L^*}(t|S^*)$  زمانی معادل یکدیگر می‌شوند که متغیر تصادفی  $D_f$  مقدار  $D_f$  اختیار کند. سپس چندک امام



شکل ۳. نمودار  $\ln(\beta_{ij})$  در برابر معکوس دما بر حسب معکوس درجه‌ی کلوین برای  $i = 1, 2, 3$ .



شکل ۴. نمودار  $\ln(\beta_{2i})$  در برابر معکوس دما بر حسب معکوس درجه‌ی کلوین برای  $i = 1, 2, 3$ .

بنابراین، با استفاده از رابطه‌های ۲ و ۳ برای برازش فرایند زوال بر روی مجموعه داده‌های هر دو نوع مشخصه‌ی عملکردی مدل ۴ پیشنهاد می‌شود.

$$L_{kp}(t|S_i) = \alpha_P + \gamma_P \exp\left(\frac{\lambda_P}{S_i}\right)t_j + \varepsilon_{ijk}$$

$$i = 0, 1, 2, 3$$

$$P = 1, 2$$

$$K = 1, 2, 3, 4$$

$$j = 1, 2, \dots, l_i$$

$$\varepsilon_{ijk} \sim N(0, \sigma^2) \quad (4)$$

## ۳. فرمول‌بندی مسئله

### ۳.۱. مدل زوال

مسیر زوال واقعی برای یک واحد خاص در طول زمان توسط  $(t, D(t))$  معرفی می‌شود. در بسیاری از کاربردها مقادیر  $(D(t), t)$  در نقاط زمانی گسسته،  $t_1, t_2, \dots$  نمونه‌گیری می‌شوند. میزان زوال نمونه‌ی مشاهده شده  $(L_{ij})$  برای واحد زام در زمان  $t_j$  معادل است با:

$$L_{ij} = D_{ij} + \varepsilon_{ij} \quad i = 1, 2, \dots, n \\ j = 1, 2, \dots, m_i \quad (5)$$

حال با در دست داشتن تابع عمر محصول باید به محاسبه‌ی چندک  $P_{t_p}$ ، پرداخته شود.  $t_p$  به صورت مستقیم با حل معادله  $P = F(t)$  به دست می‌آید. به عبارت دیگر برای آزمونی با دو حالت خرابی،  $t_p$  از حل رابطه‌ی ۱۸ حاصل می‌شود. اما محاسبه‌ی  $t_p$  به صورت مستقیم از رابطه‌ی ۱۸ تقریباً غیرممکن است و باید با استفاده از روش‌های عددی محاسبه شود.

$$F(t) = 1 - R(t) = 1 - [1 - F_1(t)].[1 - F_2(t)] \quad (18)$$

برخی از شرایط خاص برای اجرای این آزمون به صورت زیر است:

- آزمون زوال سریع شده‌ی مخرب از  $m$  سطح تنش به صورت  $S_o < S_1 < \dots < S_m$  است، در ادامه به فرمول‌سازی این حالت به صورت جامع پرداخته می‌شود.
- تحت تنش  $S_i$ ،  $N_i$  واحد به آزمون تعلق می‌گیرد و تعداد کل واحدهای مورد نیاز برای آزمون برابر با  $N = \sum_{i=1}^m N_i$  است.

- تحت تنش  $S_i$ ، زمان پایان آزمون برابر با  $t_u = f \times l_i \times t_u$  که  $f$  معرف فاصله‌ی بین اندازه‌گیری‌ها (توالی اندازه‌گیری)،  $l_i$  معرف تعداد اندازه‌گیری‌ها و  $t_u$  یک واحد زمانی است. از طرف دیگر در هر سطح تنش و زمان اندازه‌گیری،  $n$  واحد به صورت تصادفی انتخاب و به صورت مخرب اندازه‌گیری می‌شود. بنابراین:

$$N_i = n \times l_i \quad (19)$$

- فرض می‌شود که  $L_{kP}(t_j | S_i)$  معرف مشخصه‌ی عملکرد واحد  $k$  ام تحت تنش  $S_i$  در زمان  $t$  برای حالت خرابی  $P$  است. به عبارت دیگر:

$$\begin{aligned} L_{kP}(t | S_i) &= \alpha_P + \beta_{iP} t_j + \varepsilon_{ijk} \\ i &= 0, 1, \dots, m \\ S_o &< S_1 < \dots < S_m \\ P &= 1, 2, \dots, p \\ k &= 1, 2, \dots, n \\ j &= 1, 2, \dots, l_i \\ \varepsilon_{ijk} &\sim N(0, \sigma^2) \end{aligned} \quad (20)$$

در مدل زوال فرض شده،  $\beta_{iP}$  نسبت به تنش  $S_i$  از رابطه‌ی آریوس پیروی می‌کند.

$$\beta_{iP} = \gamma_P \exp\left(\frac{\lambda_P}{S_i}\right) \quad (21)$$

را می‌توان به آسانی از توزیع طول عمر محصول با استفاده از رابطه‌ی ۱۲ به دست آورد:

$$t_p = \frac{D_f - \sigma \Phi^{-1}(1-p) - \alpha}{\beta_s} \quad (12)$$

توجه شود که رابطه‌ی ۱۲ از حل معادله  $F(t) = p$  حاصل می‌شود. اما استفاده از رابطه‌ی ۱۲ برای حالت مناسب است که فقط یک حالت خرابی یا یک سازوکار زوال وجود داشته باشد. این معادله برای یک حالت خاص در شرایط استفاده ( $S_o$ ) و فقط یک حالت خرابی مناسب است. اما از آنجایی که هدف این مقاله مدل‌سازی آزمون‌های زوال سریع شده با چند فرایند زوال است، در ادامه به فرمول‌سازی این حالت به صورت جامع پرداخته می‌شود.

فرض می‌شود که  $L_{kP}(t_j | S_i)$  معرف مشخصه‌ی عملکرد واحد  $k$  ام تحت تنش  $S_i$  در زمان  $t_j$  برای حالت خرابی  $P$  است. با فرض این که مسیر زوال خطی است، رابطه‌ی ۱۳ برقرار است.

$$\begin{aligned} L_{kP}(t | S_i) &= \alpha_P + \beta_{iP} t_j + \varepsilon_{ijk} \quad t_j > 0 \\ i &= 0, 1, \dots, m \\ S_o &< S_1 < \dots < S_m \\ P &= 1, 2, \dots, p \\ k &= 1, 2, \dots, n \\ j &= 1, 2, \dots, l_i \end{aligned} \quad (13)$$

در رابطه‌ی ۱۳،  $m$  سطح تنش وجود دارد که با اندیس  $i$  مشخص می‌شود. اندیس  $P$  معرف تعداد حالات خرابی است و اندیس  $k$  بیان‌گر تعداد واحد اندازه‌گیری شده‌ی مخرب در هر سطح تنش در زمان  $t_j$  است. همچنین اندیس  $j$  تعداد فراوانی اندازه‌گیری‌ها در سطح تنش  $S_i$  را نشان می‌دهد. در ادامه مقاله برای سادگی فرض می‌شود که فقط دو حالت خرابی وجود دارد ( $P = 2$ ) و براساس این فرض مسئله مدل‌سازی خواهد شد. با توجه به هر حالت خرابی که مستقل از یکدیگرند، توابع حاصله‌ی خرابی برای حالات خرابی نوع اول و دوم به ترتیب در رابطه‌های ۱۴ و ۱۵ ارائه شده است.

$$P(T_1 \leq t) = P(L_1(t | S_i) \geq D_1) = 1 - \Phi\left(\frac{D_1 - \alpha_1 - \beta_{i1}t}{\sigma_1}\right) \quad (14)$$

$$P(T_2 \leq t) = P(L_2(t | S_i) \geq D_2) = 1 - \Phi\left(\frac{D_2 - \alpha_2 - \beta_{i2}t}{\sigma_2}\right) \quad (15)$$

در تیجه برای محصول مورد نظر زمان خرابی برابر است با زمانی که برای اولین بار یکی از دو حالت خرابی رخ دهد یا به عبارت دیگر:

$$T = \min(T_1, T_2) \quad (16)$$

بنابراین تابع بقا از رابطه‌ی ۱۷ حاصل می‌شود:

$$\begin{aligned} R(t) &= 1 - F(t) = P(T > t) = P(\min(T_1, T_2) > t) \\ &= R_1(t).R_2(t) = (1 - F_1(t)).(1 - F_2(t)) \end{aligned} \quad (17)$$

که در رابطه‌ی ۲۵، در صورتی‌که داده دقیق باشد  $\delta_{ijk}$  مقدار یک و اگر داده حذف شده باشد مقدار صفر اختیار می‌کند. عموماً در آزمون‌های زوال داده‌ی حذف شده به ندرت مطرح می‌شود. در این مقاله نیز آزمون زوال بر مبنای وجود داده‌ی دقیق مدل خواهد شد. بنابراین لگاریتم تابع درست‌نمایی مورد نظر به صورت رابطه‌ی ۲۶ است:

$$\begin{aligned} \ln L(\theta) &= \sum_i^m \sum_j^{l_i} \sum_k^n \ln(f_{\lambda}(L_{k\lambda}(t_j|S_i)) \times f_{\gamma}(L_{k\gamma}(t_j|S_i))) \\ &= \sum_i^m \sum_j^{l_i} \sum_k^n \ln(f_{\lambda}(L_{k\lambda}(t_j|S_i))) + \ln(f_{\gamma}(L_{k\gamma}(t_j|S_i))) \\ &= \sum_i^m \sum_j^{l_i} \sum_k^n \ln \left( \frac{1}{\sigma_1 \sqrt{2\pi}} \exp \left( -\frac{(L_{k\lambda}(t_j|S_i) - \alpha_1 - \beta_{i\lambda} t_j)^2}{2\sigma_1^2} \right) \right) \\ &\quad + \ln \left( \frac{1}{\sigma_2 \sqrt{2\pi}} \exp \left( -\frac{(L_{k\gamma}(t_j|S_i) - \alpha_2 - \beta_{i\gamma} t_j)^2}{2\sigma_2^2} \right) \right) \quad (26) \end{aligned}$$

در رابطه‌ی ۲۶ شامل پارامترهای  $(\theta, \alpha_1, \gamma_1, \lambda_1, \sigma_1, \alpha_2, \gamma_2, \lambda_2, \sigma_2)$  می‌شود که تخمین این پارامترها  $(\hat{\theta})$  توسط روش بیشینه‌ی درست‌نمایی قابل محاسبه است. ایده‌ی کلی روش بیشینه‌ی درست‌نمایی برآش مدل به داده‌ها به وسیله‌ی تخمین پارامترها به گونه‌ی است که احتمال داده‌های مشاهده شده بیشینه شود. روش بیشینه‌ی درست‌نمایی ابراری کلی و تطبیق‌پذیر برای برآش مدل به انواع داده‌ها فراهم می‌کند. این روش می‌تواند برای محدوده‌ی وسیعی از مدل‌های پارامتری و ناپارامتری با انواع داده‌های حذف شده و کامل به کار رود. نظریه‌ی بیشینه‌ی درست‌نمایی تضمین می‌کند که در اندازه‌ی نمونه‌های بزرگ، از نظر آماری تخمین‌ها کارا هستند.<sup>[۶]</sup>

در طراحی آزمون‌های زوال تسریع شده، معیار مناسب برای طرح آزمون وابسته به هدف آزمایش است. این هدف می‌تواند تخمین  $t_p$  در شرایط استفاده باشد. یکی از رایج‌ترین معیارها برای طرح آزمون کمینه کردن واریانس مجانبی از برآوردهای بیشینه‌ی درست‌نمایی چندک زمان خوابی مشخص شده است. به عبارت دیگر هدف پیدا کردن طرح آزمونی است که  $AVar(\hat{t}_p)$  کمینه شود.  $AVar(\hat{t}_p)$  از رابطه‌ی ۲۷ به دست می‌آید.<sup>[۷, ۸]</sup>

$$AVar(\hat{t}_p) = hI(\theta)^{-1}h' \quad (27)$$

در این رابطه  $I(\theta)$  بیان‌گر ماتریس اطلاعات فیشر است و  $h'$  ترانهاده‌ی  $h$  است که مقدار  $h$  از رابطه‌ی ۲۸ به دست می‌آید.

$$h = \frac{\partial t_p}{\partial \theta} = \left( \frac{\partial t_p}{\partial \alpha_1}, \frac{\partial t_p}{\partial \gamma_1}, \frac{\partial t_p}{\partial \lambda_1}, \frac{\partial t_p}{\partial \sigma_1}, \frac{\partial t_p}{\partial \alpha_2}, \frac{\partial t_p}{\partial \gamma_2}, \frac{\partial t_p}{\partial \lambda_2}, \frac{\partial t_p}{\partial \sigma_2} \right) \quad (28)$$

همان‌طور که قبلیان شد، زمانی که دو حالت خوبی وجود دارد، به دست آوردن  $t_p$  از روش مستقیم بسیار دشوار است؛ بنابراین محاسبه‌ی  $h$  با استفاده از رابطه‌ی بالا تقریباً غیرممکن است. بهمین دلیل برای محاسبه‌ی آن از قاعده‌ی مشتق زنجیره‌ی استفاده می‌کنیم. به عبارت دیگر:

$$\begin{aligned} \frac{\partial F(t)}{\partial \theta} &= \frac{\partial F(t)}{\partial t} \times \frac{\partial t}{\partial \theta} \Rightarrow \frac{\partial t_p}{\partial \theta} = \frac{\frac{\partial F(t)}{\partial \theta}}{\frac{\partial F(t)}{\partial t}} \\ F(t) &= 1 - [(1 - F_{\lambda}(t)) * (1 - F_{\gamma}(t))] \quad (29) \end{aligned}$$

$$\min AVar(\hat{t}_p | n, f, l_1, l_2, \dots, l_m),$$

$$s.t :$$

$$Tc(n, f, l_1, l_2, \dots, l_m) \leq C_b$$

$$f.l_i \leq t_{\max}$$

$$N \leq N_{\max}$$

$$n \geq n_{\min}$$

$$n, f, l_1, l_2, \dots, l_m \in N^{m+1} \quad (22)$$

در مدل ۲۲،  $\hat{t}_p$  معرف واریانس مجانبی  $C_b$  معرف کل بودجه‌ی از پیش مشخص شده برای اجرای آزمایش زوال،  $t_{\max}$  معرف بیشینه‌ی زمان اندازه‌گیری شده که از پیش مشخص می‌شود،  $N_{\max}$  معرف بیشینه‌ی اندازه‌ی نمونه‌ی کل که از پیش مشخص می‌شود و  $n_{\min}$  معرف کمینه‌ی اندازه‌ی نمونه‌ی کل در هر سطح تنش ارائه شده بحث خواهد شد. حل مسئله‌ی ارائه شده در مدل ۲۲ شامل دو بخش است: ۱. محاسبه‌ی واریانس مجانبی بیشینه‌ی درست‌نمایی ( $MLE$ ) چندک  $p$  ام طول عمر محصول تحت شرایط استفاده. ۲. محاسبه‌ی کل هزینه‌ی اجرای آزمایش.

#### ۱۴. نحوی محاسبه‌ی $AVar(\hat{t}_p)$

بر مبنای مشاهدات  $(L_{kP}(t_j|S_i))$  و در حضور داده‌ی دقیق و حذف شده، تابع درست‌نمایی برای مدل زوال مطرح شده به صورت زیر است. در ابتدا برای هر نوع داده تابع درست‌نمایی محاسبه و سپس تابع درست‌نمایی کل محاسبه می‌شود. تابع درست‌نمایی برای داده‌های دقیق از رابطه‌ی ۲۳ محاسبه می‌شود:

$$\begin{aligned} L_e(\theta) &= \prod_{i=1}^m \prod_{j=1}^{l_i} \prod_{k=1}^n \frac{1}{\sigma_1 \sqrt{2\pi}} \exp \left( -\frac{(L_{k\lambda}(t_j|S_i) - \alpha_1 - \beta_{i\lambda} t_j)^2}{2\sigma_1^2} \right) \\ &\quad \times \frac{1}{\sigma_2 \sqrt{2\pi}} \exp \left( -\frac{(L_{k\gamma}(t_j|S_i) - \alpha_2 - \beta_{i\gamma} t_j)^2}{2\sigma_2^2} \right) \quad (23) \end{aligned}$$

و تابع درست‌نمایی برای داده‌های حذف شده معادل است با:

$$\begin{aligned} L_s(\theta) &= \prod_{i=1}^m \prod_{j=1}^{l_i} \prod_{k=1}^n \left( 1 - \Phi \left( \frac{(L_{k\lambda}(t_j|S_i) - \alpha_1 - \beta_{i\lambda} t_j)}{\sigma_1} \right) \right) \\ &\quad \times \left( 1 - \Phi \left( \frac{(L_{k\gamma}(t_j|S_i) - \alpha_2 - \beta_{i\gamma} t_j)}{\sigma_2} \right) \right) \quad (24) \end{aligned}$$

در نهایت تابع درست‌نمایی کل برابر است با:

$$\begin{aligned} A &= \frac{1}{\sigma_1 \sqrt{2\pi}} \exp \left( -\frac{(L_{k\lambda}(t_j|S_i) - \alpha_1 - \beta_{i\lambda} t_j)^2}{2\sigma_1^2} \right) \\ &\quad \times \frac{1}{\sigma_2 \sqrt{2\pi}} \exp \left( -\frac{(L_{k\gamma}(t_j|S_i) - \alpha_2 - \beta_{i\gamma} t_j)^2}{2\sigma_2^2} \right) \\ B &= \left( 1 - \Phi \left( \frac{(L_{k\lambda}(t_j|S_i) - \alpha_1 - \beta_{i\lambda} t_j)}{\sigma_1} \right) \right) \\ &\quad \times \left( 1 - \Phi \left( \frac{(L_{k\gamma}(t_j|S_i) - \alpha_2 - \beta_{i\gamma} t_j)}{\sigma_2} \right) \right) \\ L(\theta) &= \prod_i^m \prod_j^{l_i} \prod_k^n A^{\delta_{ijk}} \times B^{1-\delta_{ijk}} \quad (25) \end{aligned}$$

در نتیجه هزینه‌ی کل اجرای آزمون زوال تسریع شده‌ی مخرب از رابطه‌ی ۳۲ محاسبه می‌شود:

$$TC(n, f, l_1, \dots, l_m) = C_{op}f \sum_{i=1}^m l_i + C_{mea}n \sum_{i=1}^m l_i + C_{it}n \sum_{i=1}^m l_i \quad (32)$$

در نهایت مدل مسئله‌ی طراحی بهینه‌ی آزمون‌های زوال تسریع شده‌ی مخرب با حضور ریسک‌های رقابتی را می‌توان به صورت زیر فرمول‌بندی کرد:

$$\begin{aligned} \min h I(\theta)^{-1} h' \\ s.t : \\ C_{op}f \sum_{i=1}^m l_i + C_{mea}n \sum_{i=1}^m l_i + C_{it}n \sum_{i=1}^m l_i \leq C_b \\ f.l_i \leq t_{\max} \\ \sum_{i=1}^m n.l_i \leq N_{\max} \\ n \geq n_{\min} \\ n, f, l_1, l_2, \dots, l_m \in N^{m+1} \end{aligned} \quad (33)$$

محاسبات تحلیلی مشتق‌های  $\frac{\partial F(t)}{\partial t}$  و  $\frac{\partial F(t)}{\partial \theta}$  در صورت نیاز در اختیار خوانندگان قرار داده می‌شود. در نهایت با در اختیار داشتن مشتق‌های  $\frac{\partial F(t)}{\partial t}$  و  $\frac{\partial F(t)}{\partial \theta}$ ، مقادیر  $h$  و  $h'$  به راحتی قابل محاسبه خواهد بود.

علاوه‌بر محاسبه‌ی مقدار  $h$  و  $h'$ ، برای محاسبه‌ی تابع هدف، محاسبه‌ی ماتریس اطلاعات فیشر وجود دارد: ۱. ماتریس فیشر مورد انتظار. ۲. ماتریس فیشر مشاهدات. ماتریس فیشر مورد انتظار بر مبنای امید ریاضی محاسبه می‌شود و رابطه‌ی آن به صورت زیر به دست می‌آید:

$$I(\theta) = E \left[ \left( \left( \frac{\partial \log f(x, \theta)}{\partial \theta} \right)' | \theta \right) \right] = \int_{-\infty}^{\infty} \left( \frac{\partial \log f(x, \theta)}{\partial \theta} \right)' f(x, \theta) dx \quad (30)$$

در رابطه‌ی بالا  $(x, \theta)^t$  همان تابع درست‌نمایی است. اما ماتریس فیشر مشاهدات معادل با منفی مشتق دوم ماتریس بیشینه‌ی درست‌نمایی نسبت به پارامترهاست که از رابطه‌ی ۳۱ حاصل می‌شود:

$$I(\theta) = - \frac{\partial^2 L(\theta)}{\partial \theta^2} = - \sum_{i=1}^n \frac{\partial \log f'(x, \theta)}{\partial \theta^2} \quad (31)$$

## ۵. روش حل

به دلیل پیچیدگی تابع هدف، ارائه یک روش حل تحلیلی برای مسئله‌ی بهینه‌سازی مورد نظر غیرممکن به نظر می‌رسد. همچنین استفاده از روش شمارش کامل برای این مسئله نیز نیاز به زمان حل بسیار طولانی دارد. با توجه به محدودیت‌های ذکر شده تصمیم گرفته شد تا در این مقاله از الگوریتم ژنتیک برای حل مدل ارائه شده استفاده شود. پیاده‌سازی الگوریتم طراحی شده با استفاده از نرم‌افزار متلب ۲۰۱۱ انجام شده است. در ادامه این بخش جزئیات مربوط به این روش ارائه شده است.

### ۵.۱. نحوه نمایش جواب

چهار شیوه‌ی اصلی در کد کردن متغیرها یا نحوه نمایش جواب وجود دارد: ۱. نمایش کد دودویی. ۲. نمایش کد اعداد حقیقی. ۳. نمایش کد عدد صحیح و ۴. نمایش کد جایگشتی. بهترین شیوه برای نحوه نمایش جواب برای مدل ارائه شده، نمایش جایگشتی با استفاده از اعداد صحیح است. شکل ۵ نمونه‌یی از نمایش جواب برای طرح آزمون بهینه را نشان می‌دهد. به عبارت دیگر جواب مسئله به صورت یک آرایه در نظر گرفته شده است که خانه‌ی اول بیانگر تعداد واحد اندازه‌گیری در هر زمان و شرایط دمایی است و خانه‌های دوم تا سوم به ترتیب معادل با تعداد اندازه‌گیری در سطوح اول تا سوم هستند و خانه‌ی آخر بیانگر فاصله‌ی بین اندازه‌گیری هاست.

### ۵.۲. ساختن جواب اولیه

در مسئله‌ی مورد نظر ساختن جواب اولیه مشکل نیست. زیرا هر ترکیبی از اعداد

۲	۵	۳	۶	۷
---	---	---	---	---

شکل ۵. نحوه نمایش جواب.

به طور کلی در اندازه‌ی نمونه‌های بزرگ می‌توان از ماتریس فیشر مشاهدات و مورد انتظار به جای یکدیگر استفاده کرد. نکته‌ی قابل توجه آن است که در صورتی که امکان محاسبه‌ی ماتریس فیشر قابل انتظار وجود داشته باشد، بهتر است از آن استفاده شود و در صورتی که امکان مشتق‌گیری تحلیلی وجود نداشته باشد، باید از روش‌های مشتق‌گیری عددی استفاده کرد. بنابراین با توجه به توضیحات داده شده، اجزای ماتریس اطلاعات فیشر شامل امید ریاضی مشتق دوم  $L(\theta)$  –  $\ln L(\theta)$  – نسبت به اجزای  $\theta$  است. در این مقاله برای محاسبات اجزای ماتریس اطلاعات فیشر از مشتق‌های تحلیلی استفاده شده و در محاسبه‌ی امید ریاضی مشتق دوم  $L(\theta)$  –  $\ln L(\theta)$  – نسبت به اجزای  $\theta$  از انتگرال‌گیری عددی استفاده شده است.

### ۵.۲.۴. محاسبه‌ی هزینه‌ی کل آزمایش

معمولًا اجرای آزمون‌های زوال تسریع شده با محدودیت بودجه همراهاند که باید در طراحی یک آزمون در نظر گرفته شود. کل هزینه‌های اجرای یک آزمون زوال تسریع شده شامل سه هزینه‌ی اجرای آزمایش، هزینه‌ی اندازه‌گیری و هزینه‌ی واحد تحت آزمون می‌شود.<sup>[۷]</sup> نحوه محاسبه‌ی هریک از این سه هزینه به صورت زیر است:

- هزینه‌ی اجرای آزمایش برابر است با  $C_{op}f \sum_{i=1}^m l_i$ ، که  $C_{op}$  نماد هزینه‌ی واحد عملیات است.
- هزینه‌ی اندازه‌گیری مخرب برابر است با  $C_{mea}n \sum_{i=1}^m l_i$ ، که  $C_{mea}$  نماد هزینه‌ی یک واحد اندازه‌گیری مخرب است.
- هزینه‌ی واحدهای آزمون برابر است با  $C_{it}n \sum_{i=1}^m l_i$ ، که  $C_{it}$  نماد هزینه‌ی هر واحد (محصول اندازه‌گیری شده‌ی آزمون) آزمون است.

۲	۵	۳	۶	۷
→				
۲	۶	۴	۲	۳
۲	۵	۴	۲	۳

شکل ۶. تقاطع یک نقطه‌ی.

۲	۵	۳	۶	۷
→				
۲	۶	۴	۲	۳
۲	۵	۳	۲	۳

شکل ۷. تقاطع دو نقطه‌ی.

## ۷.۵. معیار توقف

شرط خاتمه‌ی متفاوتی می‌تواند برای یک الگوریتم رنگی به کار رود. تعدادی از این شرایط عبارت‌اند از: گذشتن از بیشینه‌ی زمان CPU مجاز، رسیدن تعداد کل ارزیابی‌های برازنده‌ی به یک آستانه‌ی معین، بهبود حاصل نشدن برای یک دوره‌ی معین از زمان و تولید تعداد معینی از نسل‌ها. در الگوریتم رنگی در این مقاله محدودیت بیشینه‌ی تکرار که از پیش تعیین می‌شود به عنوان شرط خاتمه استفاده شده است.

## ۸.۵. مدیریت محدودیت‌ها

یکی از مسائل مهم در طراحی الگوریتم‌های رنگی، چگونگی مدیریت محدودیت‌ها مسئله‌است. محدودیت‌های مسئله شدنی یا نشدنی بودن جواب‌های تولیدی را تعیین می‌کند. بنابراین، در هنگام تولید جواب‌های جدید به وسیله عملگرهای تغییر، توجه به محدودیت‌های مسئله لازم و ضروری است. راهبردهای مختلفی برای مدیریت محدودیت‌ها وجود دارد. در الگوریتم پیشنهادی از دو روش تخصیص جریمه به جواب‌های نشدنی و جلوگیری از تولید جواب‌های نشدنی برای مدیریت محدودیت‌ها استفاده شده است. برای محدودیت هزینه روش تخصیص جریمه به کار گرفته شده است و برای سایر محدودیت‌ها از روش جلوگیری از تولید جواب‌های نشدنی استفاده شده است.

## ۹.۵. تنظیم پارامترها

در این مرحله، تنظیم پارامترها برای مسئله مورد نظر انجام می‌شود. مقدار اولیه و همچنین دامنه‌ی تغییر پارامترها در جدول ۱ ارائه شده است. انتخاب تعداد جمعیت از اهمیت بالایی برخوردار است. اگر تعداد جمعیت کم باشد، مسئله چهار همگرایی زور درس می‌شود و به جواب موردنظر و بینهای سراسری نخواهی رسید و اگر تعداد جمعیت زیاد باشد، زمان زیادی لازم است تا به همگرایی برسیم. بنابراین، باید تعداد جمعیت در حد قابل قبولی قرار داشته باشد تا بتوان در زمانی قابل قبول به نتایج مطلوبی دست یافت. برای تنظیم پارامترها از رویکرد سطح پاسخ بهره گرفته شده است. به همین منظور یک طرح مرکب مرکزی با ۳۲ ترکیب و دو تکرار در هر ترکیب در نظر گرفته می‌شود. برای هر عامل دو مقدار کمینه و بیشینه براساس جدول ۲ انتخاب می‌شود. در نهایت نتایج نهایی تنظیم پارامترها براساس رویکرد سطح پاسخ به صورت جدول ۲ به دست می‌آید.

صحیح را که در محدودیت‌های مسئله صدق کند، می‌توان به عنوان جواب اولیه در نظر گرفت. به همین دلیل در این الگوریتم جواب اولیه به صورت تصادفی تولید شده است. به عبارت دیگر جمعیت اولیه در این الگوریتم به صورت تصادفی ساخته شده است.

## ۳.۵. تابع برازنده‌ی

نقش تابع برازنده‌ی، نشان دادن میزان برازنده‌ی هر جواب است. این تابع پایه و اساس برای انتخاب را تشکیل می‌دهد و در نتیجه بهبودها را تسهیل می‌کند. از لحاظ فنی، تابع برازنده‌ی تابعی است که یک اندازه‌ی برازنده‌ی به کروموزوم‌ها تخصیص می‌دهد. از آنجا که مسئله حل شده به وسیله‌ی الگوریتم رنگی در این مقاله یک مسئله‌ی بهینه‌سازی است، تابع برازنده‌ی همان تابع هدف مسئله یعنی واریانس مجانبی چندک زمان خرایی است.

## ۴.۵. انتخاب والد

نقش انتخاب والد، تمایز قابل شدن بین افراد بر اساس برازنده‌ی است؛ یعنی اجازه دادن به افراد بهتر برای این‌که والد نسل بعد باشند. انتخاب والد به همراه انتخاب بازمانده نقش بهبود کیفیت در جمعیت را دارد. در الگوریتم رنگی، ذرا بیند انتخاب والد احتمالی است. بنابراین افراد با برازنده‌ی بالاتر شناس بیشتری برای والد شدن نسبت به افراد با برازنده‌ی پایین تر دارند. برای انتخاب والد، روش‌های مختلفی وجود دارد. برخی از روش‌ها مانند الگوریتم چرخ رولت به صورت کامل بر اساس برازنده‌ی والد را انتخاب می‌کنند. در مقابل روش‌هایی مانند انتخاب رتبه‌بندی شده و انتخاب مسابقه‌ی وجود دارند که به صورت کامل بر برازنده‌ی تمرکز ندارند و به صورت نسبی برازنده‌ی را مورد توجه قرار می‌دهند.

## ۵.۵. بازترکیب

روش‌های استانداردی از بازترکیب برای نمایش اعداد صحیح وجود دارد. بیشتر آن‌ها از دو والد شروع و دو فرزند تولید می‌کنند. هرچند که انواع مختلفی از آن‌ها وجود دارد که از بیش از دو والد استفاده می‌کنند و همچنین انواعی از آن‌ها، فقط یک فرزند را به وجود می‌آورند. در این مسئله از دو تقاطع یک نقطه‌ی و تقاطع دونقطه‌ی در استفاده شده است. تقاطع یک نقطه‌ی، به وسیله‌ی انتخاب یک عدد تصادفی در بازه [۱ - L] کار می‌کند که L طول رشته است و سپس هر دو والد را در این نقطه می‌شکند و دو فرزند را با جایه‌جا کردن دنباله‌ی آن‌ها تولید می‌کنند. شکل ۶ نشان‌دهنده‌ی این نوع تقاطع است. در تقاطع دونقطه‌ی نمایش مورد نظر به سه قسم تقسیم و سپس قسمت میانی دو والد با یکدیگر توضیح می‌شود. این عمل در شکل ۷ نشان داده شده است.

## ۶.۵. جهش

عملگر تغییر تکی در الگوریتم رنگی، جهش نام دارد. عملگر جهش بر روی یک کروموزوم به کار می‌رود و یک فرزند جهش یافته را ایجاد می‌کند. تولید یک فرزند، به معنای گام برداشتن به سمت یک نقطه‌ی جدید در این فضاست. از این منظر جهش می‌تواند دسترسی به تمام جواب‌های فضای جستجو را تضیین کند. نوع و پارامترهای انتخاب شده برای جهش به روش نمایش جواب‌ها بستگی دارد. در روش استفاده شده در الگوریتم این مقاله یک ژن به طور تصادفی انتخاب و با احتمال ۰٪ مقدار یک به آن اضافه و کم می‌شود.

جدول ۳. طرح بهینه‌ی آزمون برای بودجه‌های مختلف.

بودجه	$n^*$	$l_1^*$	$l_2^*$	$l_3^*$	$f^*$	هزینه کل	تابع هدف
۵۰۰	۴	۴	۲	۲	۵	۵۰۰	۴۷۳۷۲۶۲۵۵
۶۰۰	۲	۱۰	۷	۲	۲	۵۸۹	۴۲۱۱۲۴۲۲۷
۷۰۰	۲	۱۱	۷	۴	۲	۶۸۲	۳۶۶۰۱۶۸۱۶

جدول ۴. هزینه‌ها به نفیکیک اندازه‌گیری، اجرا و واحدهای آزمون.

بودجه	هزینه آزمون	هزینه اندازه‌گیری	هزینه اجرا	هزینه کل
۵۰۰	۳۲۰	۱۶۰	۲۰	۵۰۰
۶۰۰	۳۸۰	۱۹۰	۱۹	۵۸۹
۷۰۰	۴۴۰	۲۲۰	۲۲	۶۸۲

$p$  مورد نظر مقدار  $t_p$  بر حسب شرایط استفاده و نگهداری محصول در دمای ۲۵ درجه‌ی سانتی‌گراد محاسبه می‌شود. یعنی، برای  $0/5 = p$ ، مقدار  $61,054$  واحد زمانی برای  $t_p$  حاصل می‌شود.

#### ۱.۶ طرح آزمون بهینه

در این بخش طرح بهینه‌ی آزمون برای مثال ارائه خواهد شد. با توجه به این‌که چندک طول عمر مورد علاقه برای این محصول  $0/5 = p$  است، در ابتدای کار برای محاسبه‌ی بودار  $h$ ، نیاز است تا  $t_p$  محاسبه شود. همان‌طور که در بخش قبل بیان شد، محاسبه‌ی  $t_p$  از راه تحلیلی ممکن نیست؛ به همین دلیل از روش عددی محاسبه شده است. این مقدار برای  $0/5 = p$ ، معادل با  $61,054$  واحد زمانی است. حال با توجه به محدودیت‌های هزینه، بیشینه‌ی زمان در دسترس و بیشینه‌ی تعداد واحد آزمون در دسترس با استفاده از الگوریتم ژنتیک ارائه شده می‌توان طرح بهینه‌ی  $(n^*, f^*)$  را برای آزمون زوال تسریع شده مخرب با حضور ریسک‌های رقبه‌ی به اورده.

برای بودجه‌ی  $500$  واحدی طرح بهینه  $(4-4-2-2-5)$  به دست آمده است. به عبارت دیگر، توالی اندازه‌گیری بهینه معادل با  $5$  واحد زمانی است و تعداد اندازه‌گیری‌های بهینه در دمای  $50$ ،  $70$  و  $90$  به ترتیب برابر  $2, 4$  و  $2$  واحد است. یعنی زمان‌های پایان بهینه متناظر با دماهای  $50$ ،  $70$  و  $90$  به ترتیب برابر با  $(5 \times 2 = 10) \times (5 \times 4 = 20) \times (5 \times 2 = 10) = 10 \times 20 \times 10 = 4000$  واحد زمانی است. همچنین تعداد بهینه‌ی واحدهایی که به صورت مخرب در هر واحد زمانی اندازه‌گیری می‌شوند، معادل با  $4$  واحد است. بنابراین اندازه‌ی نمونه‌های بهینه برای دماهای  $50$ ،  $70$  و  $90$  به ترتیب معادل با  $(4 \times 4 = 16)$ ،  $(4 \times 2 = 8)$  و  $(4 \times 2 = 8)$  واحد است. به عبارت دیگر، کل تعداد واحدهای بهینه برای اجرای آزمون معادل با  $32$  واحد محصول می‌شود. در چنین طرح آزمونی کل هزینه‌ی صرف شده  $500$  واحد است؛ در حالی که مقدار تابع هدف یعنی واریانس مجانی چندک  $55$  ام برای طول عمر محصول تقریباً برابر با  $473726255$  شده است. همچنین در جدول ۳ طرح آزمون بهینه برای چندین بودجه‌ی مختلف ارائه شده است. همان‌طور که انتظار می‌رود نتایج این جدول نشان می‌دهد که با افزایش بودجه طرح بهینه ارائه شده دارای واریانس کمتری است.

به همین ترتیب در جدول ۴ هزینه‌ها برای بودجه‌های مختلف به نفیک

جدول ۱. دامنه‌ی تغییر پارامترها.

پارامتر	دامنه‌ی تغییرات
جمعیت اولیه	$300, 30$
احتمال تقاطع یک نقطه‌ی	$0, 7, 0, 3$
احتمال تقاطع دونقطه‌ی	$0, 7, 0, 3$
نحوه‌ی	$0, 6, 0, 4$
تعداد تکرار	$200, 50$

جدول ۲. مقادیر بهینه‌ی پارامترها.

پارامتر	مقدار بهینه
جمعیت اولیه	$366$
احتمال تقاطع یک نقطه‌ی	$0, 48$
احتمال تقاطع دونقطه‌ی	$0, 1$
نحوه‌ی	$0, 47$
تعداد تکرار	$275$

## ۶. نتایج عددی

در این بخش به تشریح طرح بهینه‌ی پیشنهادی با استفاده از داده‌های محصول شیمیایی با پارامترهای زیر می‌پردازیم:

$$C_{op} = 0/5, C_{mea} = 5, C_{it} = 10, C_b = 500$$

$$t_{\max} = 30, N_{\max} = 100, n_{\min} = 2$$

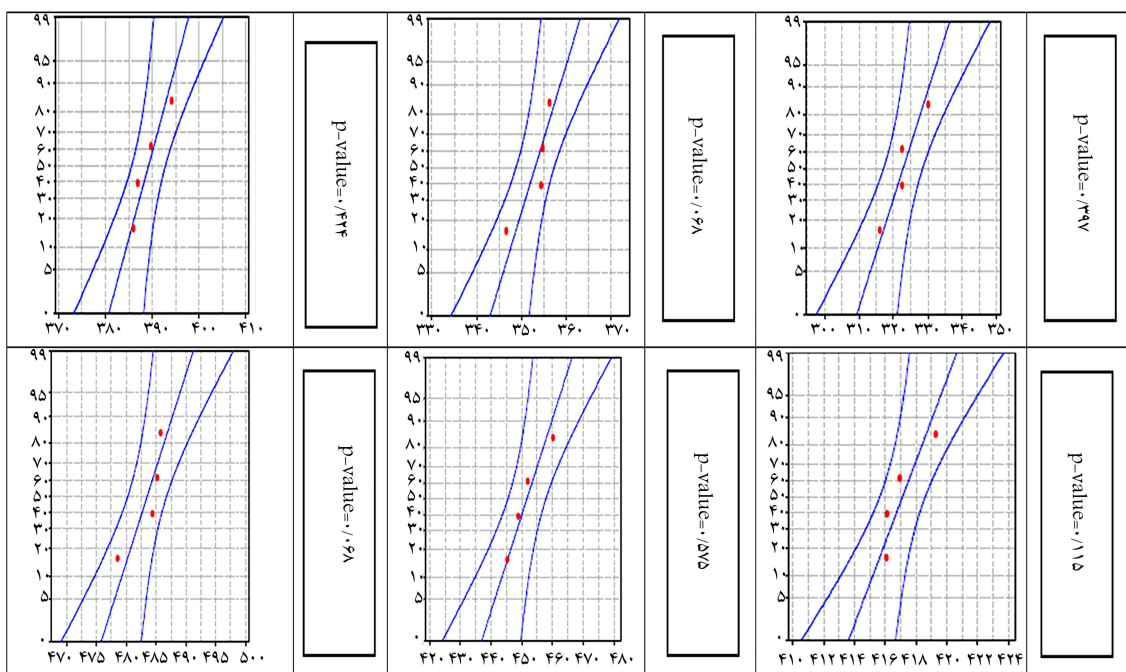
$$D_1 = 525, D_2 = 495$$

در ابتدا بررسی اعتبار مدل برای داده‌های آزمون زوال تسریع شده مخرب ضروری است. از این‌رو اعتبارسنجی نرمال بودن داده‌های آزمون زوال و همگنی واریانس‌ها تحت تکیبی از هر تنش و هر زمان اندازه‌گیری برای هر دو مشخصه‌ی عملکردی بررسی می‌شود. برای مثال شکل ۸ نمودار احتمال نرمال برای داده‌های مربوط به مشخصه‌ی نوع الف در دمای  $70$  درجه سانتی‌گراد را نشان می‌دهد که برای تمام شرط آزمون (زمان‌های اندازه‌گیری) مقدار  $p$ -value بزرگ تراز  $50\%$  است. همچنین این نتایج این شرایط برای تمام حالات مشخصه‌ی نوع الف و ب نیز برقرار است. این نتایج فرض نرمال بودن و همگنی واریانس‌ها در هر تکیب دما و زمان را برای مشخصه‌ی عملکردی‌های محصول تأیید می‌کند.

از طرف دیگر، برای تعیین طرح بهینه‌ی آزمون زوال تسریع شده مخرب، اطلاعات درباره‌ی بردار پارامترهای مجهول  $0$  مورد نیاز است. به همین دلیل مدل زوال ارائه شده در رابطه‌ی  $20$  بر روی داده‌های آزمون زوال تسریع شده با استفاده از روش بیشینه‌ی درست‌نمایی بازش شده و تخمینی از پارامترهای مجهول  $0$  به دست آمده است. بنابراین تخمین‌های بیشینه‌ی درست‌نمایی  $\hat{\theta}$  با بیشینه‌ی کردن لگاریتم رابطه‌ی  $26$  به دست می‌آید. تخمین پارامترها در نرم‌افزار متلب  $2011$  با استفاده از روش‌های بهینه‌سازی به صورت  $45, 2, 415, 506, 1, 1381, 76, 4, 236, 0, 23, 1, 1334, 94, 1, 1834, 95, 1, 1334, 2, 1, 1834, 94$  حاصل شده است. حال مقدار  $t_p$  از حل معادله‌ی  $18$  حاصل می‌شود. اما محاسبه‌ی  $t_p$  از رابطه‌ی تقریباً غیرممکن است؛ بنابراین از روش عددی برای محاسبه‌ی آن استفاده می‌شود. در نهایت با استفاده از جایگزین کردن مقادیر برآورده‌ی پارامترها در رابطه‌ی  $18$  می‌توان با استفاده از روش عددی مقدار  $t_p$  را به دست آورد. البته برای

جدول ۵. تحلیل حساسیت مدل نسبت به تغییرات ترکیبی پارامترها.

$\alpha_1$	$\gamma_1$	$\lambda_1$	$\sigma_1$	$\alpha_2$	$\gamma_2$	$\lambda_2$	$\sigma_2$	$n$	$l_1$	$l_2$	$l_3$	$f$
o	o	o	o	o	o	o	o	4	4	2	2	5
o/o\Delta	o	o	o	o	o	o	o	2	9	5	2	2
-o/o\Delta	o	o	o	o	o	o	o	2	7	5	3	3
o	o	o	o	o/o\Delta	o	o	o	4	4	2	2	5
o	o	o	o	-o/o\Delta	o	o	o	4	4	2	2	5
o	o/o\Delta	o	o	o	o	o	o	4	4	2	2	5
o	-o/o\Delta	o	o	o	o	o	o	4	4	2	2	5
o	o	o/o\Delta	o	o	o	o	o	4	4	2	2	5
o	o	-o/o\Delta	o	o	o	o	o	4	4	2	2	5
o	o	o/o\Delta	o	o	o	o	o	4	4	2	2	5
o	o	-o/o\Delta	o	o	o	o	o	4	4	2	2	5
o	o	o	o	o/o\Delta	o	o	o	4	4	2	2	5
o	o	o	o	-o/o\Delta	o	o	o	4	3	2	2	5
o	o	o	o	o/o\Delta	o	o	o	4	4	2	2	5
o	o	o	o	-o/o\Delta	o	o	o	4	4	2	2	5
o	o	o	o	o/o\Delta	o	o	o	4	4	2	2	5
o	o	o	o	-o/o\Delta	o	o	o	2	7	5	3	3
o	o	o	o	o/o\Delta	o	o	o	2	8	5	2	3
o	o	o	o	-o/o\Delta	o	o	o	2	7	5	3	3
o	o	o	o	o/o\Delta	o	o	o	4	4	2	2	5



شکل ۸. نمودار احتمال نرمال برای مشخصه‌ی نوع الف در دمای  $70^{\circ}$  درجه‌ی سانتی‌گراد.

٢٦. تحلیل حساسیت

در عمل، پارامترهای تخمین زده شده ( $\hat{\alpha}_1, \hat{\gamma}_1, \hat{\lambda}_1, \hat{\sigma}_1, \hat{\alpha}_2, \hat{\gamma}_2, \hat{\lambda}_2, \hat{\sigma}_2$ ) با مقادیر درست پارامترها ( $\alpha_1, \gamma_1, \lambda_1, \sigma_1, \alpha_2, \gamma_2, \lambda_2, \sigma_2$ ) ناقوت دارد. بنابراین بررسی تأثیر پارامترهای براورده شده بر روی طرح آزمون بهینه ضروری است. در راستای این امر، در این بخش تحلیل حساسیت بر روی پارامترهای ( $\alpha_1, \gamma_1, \lambda_1, \sigma_1, \alpha_2, \gamma_2, \lambda_2, \sigma_2$ ) انجام می‌شود. با ترکیبات هزینه‌ی بکسان

هزینه های اندازه گیری، اجرا و واحدهای آزمون ارائه شده است. همان طور که در این جدول مشاهده می شود با افزایش بودجه در دسترس تقریباً تمام هزینه ها افزایش می یابند. دلیل این امر را می توان در این مورد دانست که با افزایش بودجه امکان کاهش فاصله های بین اندازه گیری ها و افزایش تعداد آن ها فراهم می شود. بدینه است با افزایش تعداد اندازه گیری ها نتایج پیش یابی دقیق تر می شود و این اس کل کاهش می یابد. که نتایج جدول ۳ موید این موضوع است.

## ۷. نتیجه‌گیری

در این مقاله به تعیین طرح آزمون بهینه برای آزمون‌های زوال تسریع شده مخرب با حضور دو ریسک رقابتی پرداخته شد. متغیرهای تصمیم‌گیری در طرح آزمون ارائه شده شامل اندازه‌ی کل نمونه، فرآنی بازرسی و تعداد کل اندازه‌گیری در هر سطح تنش است که با هدف کمینه کردن واریانس مجانبی تخمین چندک  $\Phi$ ام توزیع طول عمر تحت محدودیت‌های هزینه و زمان به صورت بهینه تعیین شد.

که در جدول ۵ نمایش داده شده است، طرح‌های آزمون بهینه برای مقادیر متفاوت پارامترها ارائه شده است. نتایج جدول ۵ نشان می‌دهد که مقادیر بهینه  $\frac{f}{n}$  تقریباً نسبت به انحراف از مقادیر فرض شده برای پارامترها استوارند. ولی مقادیر  $n^*$ ،  $f^*$  نسبت به مقادار برآورد شده‌ی پارامترها حساس هستند. طرح آزمون بهینه بیشتر تحت تأثیر پارامترهای  $\alpha_1$ ،  $\lambda_2$  و  $\gamma_2$  است. بنابراین تخمین این پارامترها باید از دقت کافی برخوردار باشد. دلیل این امر می‌تواند این باشد که مقادار این پارامترها نسبت به پارامترهای متناظرشان در ریسک رقابتی دیگر بیشتر است.

## پابلوشته‌ها

1. accelerated
2. degradation tests
3. accelerated degradation tests
4. Yu and Chiao
5. Hong-Fwu Yu
6. marzio
7. Liao and Tseng
8. Pan Zheng-qiang
9. Zheng Zheng
10. brownian motion
11. Qiang and Yincai
12. Peng
13. Chen
14. destructive degradation test
15. Nelson
16. Park and Yum
17. accelerated destructive degradation test
18. Shi
19. large sample approximate variance
20. traditional
21. compromise
22. competing risk
23. Pan and Sun
24. Wang
25. accelerated destructive degradation test

## منابع (References)

1. Meeker, W.Q. and Escobar, L.A., *Statistical Methods For Reliability Data*, New York: John Wiley & Sons (1998).
2. Nelson, W., *Accelerated Testing: Statistical Models, Test Plans, and Data Analysis*, John Wiley and Sons: New York (1990).
3. Gorjani, N., Ma, L., Mittinty, M. and et al. "A review on degradation models in reliability analysis", *Proceedings of the 4th World Congress on Engineering Asset Management*, Athens, Greece, pp. 28-30 (September 2009).
4. Crk, V. "Reliability assessment from degradation data", *Proceedings Annual Reliability and Maintainability Symposium*, pp. 155-161 Los Angeles (2000).
5. Lu, J. and Meeker, W.O. "Using degradation measures to estimate a time to failure distribution", *Technometrics*, **35** (2), pp. 161-174 (1993).
6. Meeker, W.Q. and Escobar, L.A., *Statistical Methods For Reliability Data*, John Wiley & Sons (1998).
7. Tsai, C.C., Tseng, S.T., Balakrishnan, N. and et al. "Optimal design for accelerated destructive degradation tests", *Quality Technology & Quantitative Management*, **10**(3), pp. 263-276 (2013).
8. Yu, H.F. and Chiao, C.H. "Designing an accelerated degradation experiment by optimizing the interval estimation of the mean-time-to-failure", *Journal of the Chinese Institute of Industrial Engineers*, **19** (5), pp. 23-33 (2002).
9. Yu, H.F. "Designing an accelerated degradation experiment by optimizing the estimation of the percentile", *Qual. Reliab. Eng. Int.*, **19**, pp. 197-214 (2003).
10. Marzio, M., Enrico, Z. and Maurizio, C. "Designing optimal degradation tests via multi-objective genetic algorithms", *Reliability Engineering and System Safety*, **79**, pp. 87-94 (2003).
11. Yu, H.F. "Designing an accelerated degradation experiment with a reciprocal Weibull degradation rate", *Journal of Statistical Planning and Inference*, **136**, pp. 282-297 (2006).
12. Liao, C.M. and Tseng, S.T. "Optimal design for step-Stress accelerated degradation tests", *IEEE Transactions On Reliability*, **55**(1) , pp.59-66 (2006).
13. Pan Zheng, Q., Zhou, J.I. and Peng, B.H. "Optimal design for accelerated degradation tests with several stresses based on wiener process", *Systems Engineering-Theory & Practice*, **29**(8), pp.64-71 (2009).
14. Tseng, S.T. and Balakrishnan, Tsai, C.C. "Optimal step-stress accelerated degradation test plan for gamma degradation processes", *IEEE Transactions On Reliability*, **58**(4) , pp.611-618 (2009).
15. Hong-Fwu, Yu. "Optimal selection of the most reliable product with degradation data", *Eng. Opt.*, **34**, pp. 579-590 (2002).
16. Zheng Zheng, G., Xiao Yang, L., Zhang, J.R. and et al. "Planning of step-stress accelerated degradation test with stress Optimization", *Advanced Materials Research*, **118**, pp. 404-408 (2010).
17. Qiang, G. and Yincai, T. "Optimal design of accelerated degradation test based on gamma process models", *Chinese Journal of Applied Probability and Statistics*, **29**(2) (2013).

18. Peng, W., Liu, Y., Li, Y.F. and et al. "A bayesian optimal design for degradation tests on the inverse gaussian process", *Mechanical Science and Technology*, **28**(10), pp. 3937-3946 (2014).
19. Chen, Z., Shuo, Li. and Pan, E. "Optimal constant-stress accelerated degradation test plans using nonlinear generalized wiener process", *Mathematical Problems in Engineering*, **2016** (2016).
20. Tsai, T.R., Sung, W.Y. , Lio, Y. L. and et al. "Optimal two-variable accelerated degradation test plan for gamma degradation processes", *IEEE Transactions On Reliability*, **65**(1) (2016).
21. Escobar, L.A., Meeker, W.Q., Kugler, D.L. and et al. "Accelerated destructive degradation tests: data, models, and analysis", *Mathematical and Statistical Methods in Reliability*, pp. 319-337 (2003).
22. Nelson, W. "Analysis of performance degradation data from accelerated tests", *IEEE Transactions on Reliability*, **30**(3), pp. 149-155 (1981).
23. Park, J. and Yum, B. "Optimal design of accelerated degradation tests for estimating mean lifetime at the use condition", *Engineering Optimization*, **28**, pp. 199-230 (1997).
24. Park, S.J., Yum, B.J. and Balamurali, S. "Optimal design of step-stress degradation tests in the case of de-
- structive measurement", *Quality Technology & Management*, **1**, pp. 105-124 (2004).
25. Shi, Y., Meeker, W.Q. and Escobar, L.A. "Accelerated destructive degradation test planning", *Technometrics*, **51**, pp. 1-13 (2009).
26. Shi, Y. and Meeker, W.Q. "Bayesian methods for accelerated destructive degradation test planning", *IEEE Transactions on Reliability*, **61**, pp. 245-253 (2012).
27. Shi, Y. and Meeker, W.Q. "Planning accelerated destructive degradation test with competing risks", *Statistical Models and Methods for Ratiability and Survival Analysis*, **2**, pp.335-356 (2013).
28. Pan, Z. and Sun, Q. "Optimal design for step-stress accelerated degradation test with multiple performance characteristics based on gamma processes", *Communications in Statistics - Simulation and Computation*, **43**(2), pp. 298-314 (2013).
29. Haghghi, F. "Accelerated test planning with independent competing risks and concave degradation path", *Performability Engineering*, **10**(1), pp. 15-22 (2014).
30. Wang, Y., Chen, X. and Tan, Y. "Optimal design of step-stress accelerated degradation test with multiple estresses and multiple degradation measures", *Qual,Reliab,Engng Int*, **33**, pp. 1655-1668 (2017).